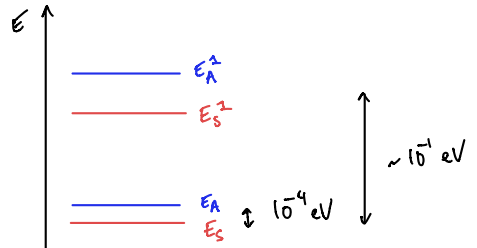


I.

On ne s'intéresse qu'aux deux premiers niveaux E_S et E_A car dès 100 K la statistique de Boltzmann donne

$$\frac{N(E_A)}{N(E_S)} \sim e^{-\frac{E_A - E_S}{k_B T}} \sim 1 \quad \left(k_B T_{\text{ambiant}} \sim 25 \text{ meV} \right)$$

$$\frac{N(E_S')}{N(E_S)} \sim \frac{N(E_A')}{N(E_A)} \sim 10^{-5} \ll 1$$



Seuls les niveaux E_S et E_A sont peuplés significativement.

Le problème se restreint à un espace à 2 dimensions.

- Dans la base $|4_s\rangle, |4_A\rangle$, le hamiltonien s'écrit avec $E_0 = \frac{E_A + E_S}{2}$, $A = \frac{E_A - E_S}{2}$

$$\hat{H} = \begin{pmatrix} E_S & 0 \\ 0 & E_A \end{pmatrix}_{\text{AS}} = \begin{pmatrix} E_0 - A & 0 \\ 0 & E_0 + A \end{pmatrix}_{\text{AS}}$$

3.

$$\bullet \text{ Si } |\psi(0)\rangle = \lambda|4_s\rangle + \mu|4_A\rangle, \quad |\lambda|^2 + |\mu|^2 = 1 \quad |\psi(t)\rangle = \lambda e^{-\frac{iE_S t}{\hbar}}|4_s\rangle + \mu e^{-\frac{iE_A t}{\hbar}}|4_A\rangle$$

$$\bullet \text{ si à } t=0, \text{ la particule est à gauche, } \lambda = \mu = \frac{1}{\sqrt{2}}, \quad (|\psi_A\rangle = \frac{|4_A\rangle + |4_S\rangle}{\sqrt{2}})$$

$$|\psi(t)\rangle = \frac{1}{\sqrt{2}} e^{-\frac{iE_S t}{\hbar}} \left(e^{\frac{iAt}{\hbar}} |4_s\rangle + e^{-\frac{iAt}{\hbar}} |4_A\rangle \right) = e^{-\frac{i\omega_0 t}{\hbar}} \left(\cos\left(\frac{A}{\hbar}t\right) |4_s\rangle + i \sin\left(\frac{A}{\hbar}t\right) |4_A\rangle \right)$$

$$\hookrightarrow \text{ toutes les demi-périodes } \frac{1}{2}\left(\frac{2\pi}{T_{\text{inv}}}\right) = \frac{A}{\hbar} \rightarrow T_{\text{inv}} = \frac{\pi \hbar}{A} \quad \text{la molécule d'ammoniaque s'inverse}$$

$$\underline{\text{OG}} : \frac{1}{T_{\text{inv}}} \sim 24 \text{ GHz}$$

$$\text{on pourra calculer } \langle \hat{z} \rangle = \langle \psi | \hat{z} | \psi \rangle = z_0 \cos\left(\frac{2A}{\hbar}t\right)$$

$$\text{Dans la base } |4_A\rangle, |4_S\rangle \quad (|\psi_A\rangle = \frac{|4_A\rangle + |4_S\rangle}{\sqrt{2}}), \text{ le hamiltonien s'écrit}$$

$$\hat{H} = \begin{pmatrix} E_0 & -A \\ -A & E_0 \end{pmatrix}_{\text{GD}}$$

$$\text{II 1. } \vec{d} = q_0 \pm \vec{\epsilon}_y \rightarrow \hat{D} = q_0 \hat{z} = q_0 \begin{pmatrix} b & 0 \\ 0 & -b \end{pmatrix}_{\text{Gn}} = d_0 \underbrace{\begin{pmatrix} 1 & 0 \\ 0 & -1 \end{pmatrix}}_{\hat{\sigma}_y} \text{GD}$$

On suppose pour simplifier que \vec{E} est selon l'axe de symétrie de l'évolution de l'axe de \vec{d}

dans la base $(|4_s\rangle, |4_A\rangle)$, $\langle 4_A | \hat{z} | 4_s \rangle = \frac{\langle 4_A - 4_D | \hat{z} | 4_A + 4_D \rangle}{\sqrt{2}} = 2 \cdot \frac{1}{2} \cdot b = b = \langle 4_s | \hat{z} | 4_A \rangle$ hermitian

$$\langle 4_A | \hat{z} | 4_A \rangle_s = 0 \rightarrow \hat{z} = \begin{pmatrix} 0 & b \\ b & 0 \end{pmatrix}_{\text{AS}}$$

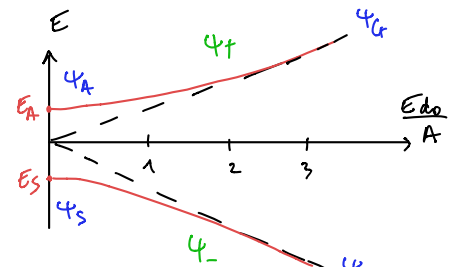
principe de correspondance

$$\hat{D} = d_0 \hat{z} = \begin{pmatrix} 0 & d_0 \\ d_0 & 0 \end{pmatrix}_{\text{AS}} \text{ et } \hat{V} = -\vec{E} \cdot \hat{D} = \begin{pmatrix} 0 & -m \\ -m & 0 \end{pmatrix}_{\text{AS}} \text{ avec } m = E - d_0$$

En champ fixe, $\hat{H} = \begin{pmatrix} E_0 - A & -m \\ -m & E_0 + A \end{pmatrix}_{\text{AS}} = E_0 \hat{I} + m \hat{\sigma}_x - A \hat{\sigma}_y$ pd. caractéristique $(X - E_0 + A)(X - E_0 - A) - m^2 = 0$
 $(X - E_0)^2 = A^2 + m^2$
 $X = E_0 \pm \sqrt{A^2 + m^2}$

avec $\tan 2\theta = \frac{m}{A}$ $\hat{H} = E_0 \hat{I} - \sqrt{A^2 + m^2} \begin{pmatrix} \cos 2\theta & \sin 2\theta \\ \sin 2\theta & -\cos 2\theta \end{pmatrix}$
 $-\frac{\pi}{4} < \theta < \frac{\pi}{4}$

Les valeurs propres sont $E_{\pm} = E_0 \pm \sqrt{m^2 + A^2}$
les états propres sont $|4_{-}\rangle = \begin{pmatrix} \cos \theta \\ \sin \theta \end{pmatrix}$ $|4_{+}\rangle = \begin{pmatrix} -\sin \theta \\ \cos \theta \end{pmatrix}$



Validité du calcul : pour continuer de négliger l'influence des niveaux de plus haute énergie, il faut $E_+ - E_- \ll E_S^2 - E_S$ donc ne pas imposer un champ trop intense.

Champ faible : $\frac{m}{A} \ll 1, \theta \approx \frac{\pi}{4} \rightarrow E_{\pm} \approx E_0 \pm \left(A + \frac{d_0^2 E^2}{2A} \right)$

$$|4_{-}\rangle \approx |4_s\rangle + \frac{d_0 E}{2A} |4_A\rangle \quad |4_{+}\rangle \approx |4_A\rangle - \frac{d_0 E}{2A} |4_s\rangle$$

les états propres sont proches de $|4_s\rangle$ et $|4_A\rangle$

Champ fort $\frac{m}{A} \gg 1, \theta \approx \frac{\pi}{4} \rightarrow E_{\pm} \approx E_0 \pm d_0 E$
 $|4_{-}\rangle \approx |4_G\rangle \quad |4_{+}\rangle \approx |4_D\rangle$
les états propres sont presque entièrement polarisés.
les énergies sont linéaires en E .

- Commentaires :
- on peut sélectionner les états $|4_{+}\rangle, |4_{-}\rangle$ avec un gradient de champ électrique
 - rupture de l'équilibre thermodynamique
 - inversion de population
 - pour affiner le modèle, il faudrait prendre en compte les moments cinétiques, le clivage hyperfin ...

Champ oscillant, émission stimulée, effet maser

Le champ électrique est donc un oscillant $\vec{E} = \vec{E}_0 \cos(\omega t)$, \vec{E}_0 selon x .

Le hamiltonien devient, dans la base $(|4_S\rangle, |4_A\rangle)$
Le potentiel dépend du temps, il faut résoudre la
équation temporelle de l'équation de Schrödinger.

$$\hat{H} = \begin{pmatrix} E_0 - A & -\gamma \cos(\omega t) \\ -\gamma \cos(\omega t) & E_0 + A \end{pmatrix}$$

En posant $|4(t)\rangle = \begin{pmatrix} a(t) \\ b(t) \end{pmatrix}$ et en injectant dans $i\hbar \frac{d|4\rangle}{dt} = \hat{H}|4\rangle$ par la version stationnaire!

$$\begin{cases} i\hbar \dot{a} = (E_0 - A)a - \gamma \cos(\omega t)b \\ i\hbar \dot{b} = -\gamma \cos(\omega t)a + (E_0 + A)b \end{cases}$$

On pose $a(t) = e^{-i(E_0-A)t/\hbar} a(0)$ et $b(t) = e^{-i(E_0+A)t/\hbar} b(0)$ variation de la constante

alors $i\hbar e^{-i(E_0-A)t/\hbar} \left(-i\frac{(E_0-A)}{\hbar} \dot{a} + \ddot{a} \right) = (E_0 - A) e^{-i(E_0+A)t/\hbar} a - \gamma \cos(\omega t) e^{-i(E_0+A)t/\hbar} b$ variation de la constante

idem $\begin{cases} i\hbar \dot{a} = -\gamma \cos(\omega t) e^{-i2At/\hbar} \cdot \beta \\ i\hbar \dot{b} = -\gamma \cos(\omega t) e^{i2At/\hbar} \alpha \end{cases}$

$$\begin{cases} i\ddot{a} = -\omega_1 \cos(\omega t) e^{-i\omega_0 t} \beta \\ i\ddot{b} = -\omega_1 \cos(\omega t) e^{i\omega_0 t} \alpha \end{cases}$$

3 pulsations
 ω champ électrique
 $\omega_0 = \frac{2A}{\hbar}$ pulsation de transition
 $\omega_1 = \frac{\gamma}{\hbar} = \frac{d\omega_0}{\hbar}$ champ-dipôle

On étudie des oscillations forcées et on attend une résonance à $\omega = \omega_0$

Approximation du champ tournant : on néglige les termes oscillant rapidement à $\omega + \omega_0$

$$\begin{cases} i\ddot{a} = -\omega_1 \frac{1}{2} \left(e^{i(\omega-\omega_0)t} + e^{-i(\omega+\omega_0)t} \right) \beta \\ i\ddot{b} = -\omega_1 \frac{1}{2} \left(e^{i(\omega+\omega_0)t} + e^{-i(\omega-\omega_0)t} \right) \alpha \end{cases}$$

$$\begin{cases} 2i\ddot{a} = -\omega_1 e^{i(\omega-\omega_0)t} \beta \\ 2i\ddot{b} = -\omega_1 e^{i(\omega_0-\omega)t} \alpha \end{cases}$$

$$\begin{cases} i\ddot{a} = -\omega_1 e^{i(\omega-\omega_0)t} \left(i(\omega-\omega_0)\beta - \frac{\omega_1}{2i} e^{i(\omega_0-\omega)t} \alpha \right) \\ i\ddot{a} - i(\omega-\omega_0) 2i\ddot{a} - \frac{\omega_1^2}{2i} \alpha = 0 \end{cases}$$

$$\ddot{a} - i(\omega - \omega_0) \dot{a} + \frac{\omega_1^2}{4} a = 0 \quad \Delta = -(\omega - \omega_0)^2 - \omega_1^2$$

idem $\begin{cases} a(t) = e^{i\frac{(\omega-\omega_0)t}{2}} (A \cos \frac{\sqrt{\Delta}t}{2} + B \sin \frac{\sqrt{\Delta}t}{2}) \\ b(t) = e^{i\frac{(\omega-\omega_0)t}{2}} (A' \cos \frac{\sqrt{\Delta}t}{2} + B' \sin \frac{\sqrt{\Delta}t}{2}) \end{cases}$

$$r_{\pm} = \frac{i(\omega - \omega_0) \pm i\sqrt{-\Delta}}{2}$$

$$\Omega = \sqrt{\omega_1^2 + (\omega_0 - \omega)^2}$$

pulsation de Rabi

Si $\alpha|t=0$, $|4\rangle = |4_A\rangle$, $\alpha(0) = 0 \rightarrow A = 0$
 $\beta(0) = 1 \rightarrow \dot{\alpha}(0) = i\omega_1$, $\dot{\alpha}(t) = B e^{i(\omega-\omega_0)t} + \left(\frac{i(\omega-\omega_0)}{2} \cdot \sin \frac{\omega t}{2} + \frac{\omega_1}{2} \cos \frac{\omega t}{2} \right)$
 $\rightarrow B = \frac{i\omega_1}{\omega}$

$$\alpha(t) = e^{\frac{i(\omega-\omega_0)t}{2}} \cdot \frac{\omega_1}{\omega} \cdot \sin \left(\frac{\omega t}{2} \right)$$

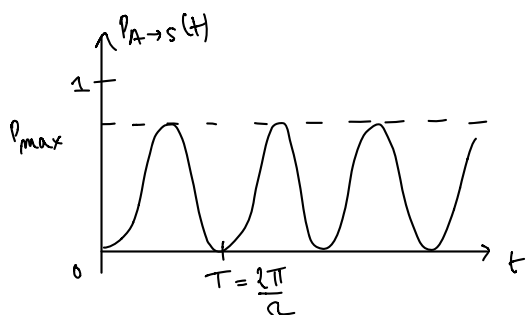
Probabilité de mesurer
le système en $|4_s\rangle$
après l'avoir préparé
en $|4_A\rangle$ et attendu un
temps t

$$P_{A \rightarrow S}(t) = |\alpha(t)|^2 = \frac{\omega_1^2}{\omega^2 + (\omega_0 - \omega)^2} \sin^2 \left(\frac{\omega t}{2} \right)$$

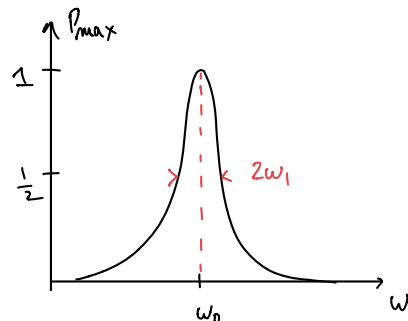
oscillations de Rabi

$$P_{\max} = \frac{\omega_1^2}{\omega_1^2 + (\omega_0 - \omega)^2}$$

amplitude des oscillations



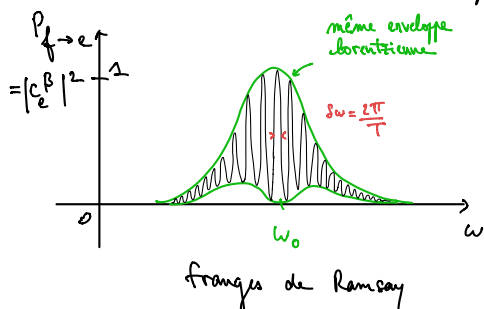
évolution temporelle



courbe de résonance

I. 2) interférométrie de Ramsey

$$|f\rangle \xrightarrow{\text{impulsion } \frac{\pi}{2}} \frac{|e\rangle + |f\rangle}{\sqrt{2}} \xrightarrow{\vec{B} \text{ étant pendant temps } T} |\alpha\rangle \xrightarrow{\text{impulsion } \frac{\pi}{2}} |\beta\rangle = c_e^\beta |e\rangle + c_f^\beta |f\rangle$$



franges de Ramsey

Analogue avec les interférences en birefringence

Ramsey

- préparation dans $|f\rangle$
- impulsion $\frac{\pi}{2}$
- 2 niveaux $|e\rangle, |f\rangle$
- évolution libre en T
 - 2 pulsations ω_e, ω_f
 - les composantes c_e et c_f se déphasent

mesure de c_e
courbe de résonance

Birefringence

- polariseur en entrée
- lame quartz d'onde
- 2 polarisations $|h\rangle, |v\rangle$
- milieu birefringent à gravité e
 - 2 indices n_h, n_v
 - les polarisations $|h\rangle$ et $|v\rangle$ se déphasent

analyseur en sortie
spectre cannelé

Utilisation d'atomes froids

- froids → vitesse lente du paquet d'ondes
- augmente le temps d'intégration T
- augmente la résolution
- froids → faible dispersion des sorties
- faible élargissement Doppler des raies

